

(دریافت مقاله: ۱۳۹۰/۱۲/۲۴؛ دریافت نسخه نهایی: ۱۳۹۱/۵/۳۱)

برهم کنش لیزر با پلاسمای^۱ از جمله پدیده خودکارونی شدن پالس لیزر پرشدت درون پلاسمما، سال‌ها است که نظر بسیاری از محققان را به خود جلب کرده است [۹-۱]. در انتشار لیزرهای پرشدت در پلاسمما، اثر نسبیتی یکی از عوامل خودکارونی شدن پالس لیزر درون پلاسمما می‌باشد [۱۰ و ۱۱]. در این فرآیند، ثابت دی‌الکتریک پلاسمما تابعی از شدت پالس لیزر می‌باشد، بدین معنی که با افزایش شدت پالس، خاصیت دی‌الکتریک پلاسمما روندی افزایشی دارد. در حالت نسبیتی تابع دی‌الکتریک پلاسمما با رابطه $\frac{\omega_p}{\omega} = 1 - \epsilon$ داده می‌شود که

فرکانس پلاسمما $\omega_p = (4\pi n_e e^2 / m_e)^{1/2}$ فرکانس نوسانات پلاسمما، ω فرکانس لیزر و $\gamma = \sqrt{1 + \frac{P^2}{m^2 c^2}}$ عامل تصحیح جرم نسبیتی الکترون‌ها در سرعت‌های ارتعاشی زیاد و نزدیک به سرعت نور است. در این روابط e و m به ترتیب بار و جرم سکون الکترون و n چگالی تعادلی پلاسمما است. نیروی اثرگذار که ناشی از تغییرات فضایی شدت لیزر می‌باشد، الکترون‌ها را از نواحی پرشدت لیزر به سمت نواحی کم شدت پالس می‌راند. البته این در شرایطی است که نمایه شدت لیزر، تابعی گاؤسی شکل داشته باشد. در اثر این فرآیند، چگالی موضعی الکترون‌ها کاهش و در نتیجه تابع دی‌الکتریک پلاسمما افزایش می‌یابد. در طی چنین فرآیندی پلاسمما همچون یک عدسی همگرا باعث

۱. Laser-plasma interaction

¹⁹ یک توزیع شدت گاؤسی به شکل زیر است [۱۸ و ۱۹]:

$$|A|^r = \frac{A_r(z, t) h(t)}{f_r(z, t)} e^{-r^r / r_r f_r(z, t)}, \quad (\dagger)$$

که در آن f و \vec{r} به ترتیب معرف پهنا و اندازه لکه^۱ پالس لیزر است. وایستگی زمانی شدت به شکل تابع پله‌ای فرض می‌شود. برای $t < 0$ و برای $t > 0$ $h(t) = 1$ است. در واقع در لحظه‌ای پالس سوئیچ شده و شروع به حرکت می‌کند. در این مقاله، محاسبات برای $t > 0$ با فرض $h(t) = 1$ انجام شده است. در رابطه (۲) در $z = 0$ ، پهنا باریکه لیزر $1 = f(0, t)$ است. پالس لیزر باعث می‌شود تا الکترون‌ها با تکانه $e\vec{E} / i\omega$ نوسان کنند و پتانسیل نیروی اثرگذار $\vec{F}_p = e\vec{\nabla}\varphi_p$ را تولید کنند. شکل نیرو و پتانسیل اثرگذار در ادامه به دست می‌آید. معادله حرکت الکترون‌ها با در نظر گرفتن پیمانه لورنتس، $\vec{\nabla} \cdot \vec{a} + \frac{1}{c} \frac{\partial \phi}{\partial t} = 0$ معرف پتانسیل برداری و اسکالر است) به شکل زیر است:

$$\frac{\partial \vec{p}}{\partial t} + (\vec{u} \cdot \vec{\nabla}) \vec{p} = e(\vec{\nabla} \phi + \frac{1}{c} \frac{\partial \vec{a}}{\partial t} - \frac{1}{c} \vec{u} \times \vec{\nabla} \times \vec{a}) \quad (3)$$

در رابطه فوق \vec{u} سرعت الکترون است. با جايگذاري γ و $\vec{p} = \vec{u} - \frac{\vec{p}_0}{m\gamma}$ بـا استفاده از اتحـاد برداری

$$\text{رابط} \quad (\vec{p} \cdot \vec{\nabla}) \vec{p} = \vec{\nabla} |\vec{p}|^2 - \vec{p} \times (\vec{\nabla} \times \vec{p})$$

به دست می آید. با صفر در نظر گرفتن $\frac{1}{mc\gamma} \vec{\nabla} |p|^\gamma = mc^\gamma \vec{\nabla} \gamma$ چرخش $\vec{\nabla} \times (\vec{p} - \frac{e}{c} \vec{a}) = 0$ رابطه زیر به دست می آید:

$$\frac{\partial}{\partial t} (\vec{p} - \frac{e}{c} \vec{a}) = e \vec{\nabla} \phi + mc^\gamma \vec{\nabla} \gamma$$

سمت راست نیروی اثرگذار \vec{F}_P است. از آنجا که رابطه بین نیرو و پتانسیل اثرگذار به شکل $\vec{F}_P = e \vec{\nabla} \phi_p = -mc^\gamma \vec{\nabla} \gamma$ است بنابراین پتانسیل اثرگذار در تقریب نسبیتی ضعیف عبارت است از [۲۰]:

$$\varphi_p = -\frac{mc}{e}(\gamma - 1) \quad (4)$$

ما در این مقاله به بررسی اثر کانال یونی بر خودکارانوی شدن پالس لیزری گاؤسی در تقریب نسبتی ضعیف پرداخته‌ایم. در

1. Spot size

خودکارونی شدن پالس لیزر درون پلاسمای می‌شود. رانش الکترون‌ها از نواحی پرشدت به نواحی کم شدت پالس باعث ایجاد یک کانال یونی با شعاع $\approx \frac{c}{\omega_p}$ در نواحی پرشدت پالس می‌شود. نیروی اثرگذار به واسطه الکترون‌ها به یون‌ها نیز منتقل می‌شود. در رابطه با انتشار پالس لیزر با شدت نسبیتی، کارهای مشابهی با توجه به ناهمگنی پلاسمای انجام شده است [۱۲]. همچنین پدیده خودکارونی شدن پالس لیزر پر شدت در پلاسمای همگن به طور تحلیلی در مرجع [۱۳] بررسی شده است و به شکل تجربی در مراجع [۱۷-۱۴] مشاهده شده است. در این مقاله ضمن مدل‌سازی این پدیده، نشان می‌دهیم در انتشار پالس لیزر با شدت نسبیتی، اثرهای نسبیتی ناشی از انتشار خودکارونی پالس لیزر باعث خودکارونی شدن پالس در پلاسمای همگن می‌شود. بدین منظور، ابتدا با در نظر گرفتن نیروی اثرگذار الکترونی، معادله تحول چگالی پلاسمای محاسبه می‌شود. در ادامه در تقریب نسبیتی ضعیف تحول پهنهای باریکه لیزری با توجه به تصحیح نسبیتی جرم الکترون‌های پلاسمای و با در نظر گرفتن اثر کانال یونی ناشی از نیروی اثرگذار بررسی می‌شود. سپس، با حل عددی معادله تحول پهنهای باریکه لیزری، نتایج و نمودارهای مربوطه ارائه می‌شود.

یک پلاسمای همگن و غیر مغناطیسی با چگالی تعادلی n را در نظر بگیرید. انتشار میدان الکتریکی لیزر به شکل زیر فرض می‌شود

$$\vec{E} = \frac{1}{\sqrt{2}}(\hat{i} + \hat{j})A(z, r, t)e^{-i(\omega t - kz)} \quad (\text{v})$$

در رابطه فوق، $A(z, r, t)$ دامنه ميدان الكتريكي، z فاصله محوري و r مختصه شعاعي سيستم استوانه اي است. ω فرkanس ليزر، p فرkanس نوسانات پلاسمما و معادله پاشندگی در پلاسمما به شكل $\frac{\omega_p^2}{\gamma} + k^2 c^2 = \omega^2$ است. وابستگي زمانى فاز موج به شكل ωt است و نشان مى دهد موج با چه فرkanسي تغيير مى كند. فرض كنيد، برای $z > 0$ پالس ليزر داراي

چگالی در امتداد \vec{z} صرف نظر می‌شود. با استفاده از فرکانس نوسانات پلاسما و با در نظر گرفتن مؤلفه عرضی لایلاندین در دستگاه مختصات استوانه‌ای، به شکل $\nabla_{\perp}^2 \approx \frac{\partial^2}{\partial r^2} + \frac{1}{r} \frac{\partial}{\partial r}$ رابطه (۷) به شکل زیر در می‌آید:

$$n_e = n_{\circ} \left\{ 1 + \frac{c^2}{\omega_p^2} \nabla_{\perp}^2 (\gamma - 1) \right\}. \quad (8)$$

در تقریب نسبیتی ضعیف و با استفاده از رابطه (۵)، معادله فوق به صورت زیر بازنویسی می‌شود:

$$n_e = n_{\circ} \left\{ 1 + \frac{c^2}{\omega_p^2} \nabla_{\perp}^2 \left(\frac{P^2}{2m^2 c^2} \right) \right\}. \quad (9)$$

از آنجا که $e\vec{E} = \frac{e^2 |E|^2}{\omega^2} \hat{\omega} \vec{p}$ ، بنابراین $|E|^2 = \frac{e^2 |E|^2}{\omega^2} |p|^2$. از طرفی $|A|^2 = |E|^2$ است که $|A|^2$ با رابطه (۲) داده می‌شود. با جاگذاری این روابط، معادله (۹) به شکل زیر در می‌آید:

$$n_e = n_{\circ} \left\{ 1 + \frac{e^2 A^2}{2m^2 \omega_p^2 \omega^2 f^2} \nabla_{\perp}^2 e^{-r^2/r^2 f^2} \right\}. \quad (10)$$

با اعمال مشتقات در رابطه فوق، چگالی الکترونی پلاسما در تقریب نسبیتی ضعیف، به شکل زیر به دست می‌آید:

$$n_e = n_{\circ} \left\{ 1 - \frac{2e^2 A^2}{m^2 \omega_p^2 \omega^2 r^2 f^2} \left(1 - \frac{r^2}{r^2 f^2} \right) \right\}. \quad (11)$$

چگالی الکترونی به صورت مجموع چگالی تعادلی پلاسما و چگالی اختلالی ناشی از وجود نیروی اثرگذار، به شکل $n_e = n_{\circ} + n_s$ فرض می‌شود. با این فرض و با توجه به رابطه (۱۱)، چگالی اختلالی را می‌توان به شکل زیر در نظر گرفت:

$$n_s = - \frac{2e^2 A^2 n_{\circ}}{m^2 \omega_p^2 \omega^2 r^2 f^2} + \frac{2e^2 A^2 n_{\circ}}{m^2 \omega_p^2 \omega^2 r^2 f^2} r^2. \quad (12)$$

رابطه فوق را می‌توان به شکل زیر نوشت:

$$n_s = (-\alpha_{\circ} + \alpha_r \frac{r^2}{r_{\circ}^2}) n_{\circ}, \quad (13)$$

که در آن ضرایب α_{\circ} و α_r با روابط زیر داده می‌شوند.

$$\alpha_{\circ} = \frac{2e^2 A^2}{m^2 \omega_p^2 \omega^2 r_{\circ}^2}, \quad (14)$$

$$\alpha_r = \frac{2e^2 A^2}{m^2 \omega_p^2 \omega^2 r^2 f^2}. \quad (15)$$

از آنجا که نواحی نزدیک به محور انتشار بررسی شده، فاصله r

این تقریب γ عامل تصحیح جرم نسبیتی الکترون در سرعت‌های ارتعاشی بالا و نزدیک به سرعت نور به صورت زیر فرض می‌شود:

$$\gamma = \sqrt{1 + \frac{P^2}{m^2 c^2}} \rightarrow \gamma \approx 1 + \frac{P^2}{2m^2 c^2}. \quad (5)$$

نیروی اثرگذار در جلوی پالس لیزر دارای یک مؤلفه محوری و یک مؤلفه شعاعی است. الکترون‌هایی که در راستای z شتاب می‌گیرند، باعث به وجود آمدن جریان الکتریکی و به دنبال آن ایجاد میدان مغناطیسی سمتی B_{θ} می‌شوند. مؤلفه شعاعی نیروی اثرگذار الکترون‌ها را در راستای شعاعی از نواحی پرشدت به نواحی کم شدت پالس لیزر می‌راند که این رانش در مقیاس زمانی به اندازه دوره تناوب نوسانات پلاسما ω_p صورت می‌گیرد. در این رانش، یون‌ها نیز به طور غیر مستقیم به واسطه الکترون‌ها از نیروی اثرگذار تأثیر می‌پذیرند. در واقع میدان بارفضای تولید شده، یون‌ها را همراه با الکترون‌ها می‌کشد. با استفاده از معادله پواسون^۱، چگالی الکtron به شکل زیر است:

$$\nabla^2 \phi_s = 4\pi e(n_e - n_{\circ}). \quad (6)$$

در رابطه فوق، ϕ_s پتانسیل ناشی از میدان بارفضای \vec{E}_s چگالی الکترون و n_{\circ} چگالی تعادلی پلاسما است. با استفاده از تقریب شبیه ایستا^۲، $\vec{F}_p = -e\vec{E}_s = 0 \rightarrow \phi_s = -\varphi_p = \frac{mc^2}{e}(\gamma - 1)$. با به کارگیری این رابطه، معادله (۶) به شکل زیر در می‌آید:

$$n_e = n_{\circ} + \frac{1}{4\pi e} \frac{mc^2}{e} \nabla^2 (\gamma - 1). \quad (7)$$

معرف طول ناحیه برهم‌کنش لیزر با پلاسما و طول پراش پالس یا همان طول رایلی است، که $R_d = kr_{\circ}$ فرض شده است. در این شرایط، هنگام عبور بخش کوچکی از پرتو، کانال ایجاد شده داخل پلاسما، ایستا فرض می‌شود. بنابراین در معادله (۷) طی عبور پالس، از تغییر

۱. Poisson's equation

۲. Quasi-steady-state

بخش حقیقی:

$$2k \frac{\partial s}{\partial z} + \left(\frac{\partial s}{\partial r} \right)^2 = \frac{1}{A_0} \nabla_{\perp}^2 A_0 + \frac{\omega_p^2}{c^2} \left(\alpha_0 - \alpha_r \frac{r^2}{r_0^2} \right) + \frac{\omega_p^2}{c^2} \frac{e^2}{2m^2 c^2 \omega^2} A_0^2. \quad (20)$$

در ناحیه پیرامحوری، با جاگذاری $\frac{r^2}{2}$ و با

اعمال مشتقات، رابطه (۱۹) به شکل زیر در می آید:

$$\frac{\beta}{f^2} - \frac{\beta}{f^4} r^2 - \frac{k}{f^3} \frac{\partial f}{\partial z} + \frac{k}{f^5} \frac{\partial f}{\partial z} r^2 = 0. \quad (21)$$

با برابر قرار دادن ضرایب توانهای مختلف r در معادله فوق،

رابطه زیر به دست می آید:

$$\beta = \frac{k}{f} \frac{\partial f}{\partial z}, \quad (22)$$

با جایگزین کردن β ، رابطه مربوط به s به شکل زیر

بازنویسی می شود:

$$s = \psi(z) + \beta \frac{r^2}{2} = \psi(z) + \frac{k}{f} \frac{\partial f}{\partial z} \frac{r^2}{2}. \quad (23)$$

با اعمال مشتقات و با فرض $A_0(z, t) = A'_0$ ، رابطه (۲۰) به

شكل زیر در می آید:

$$2k \frac{\partial \psi}{\partial z} + \frac{k^2}{f} \frac{\partial^2 f}{\partial z^2} r^2 = -\frac{2}{r_0^2 f^3} + \frac{1}{r_0^4 f^4} r^2 + \frac{\omega_p^2}{c^2} \alpha_0 - \frac{\omega_p^2}{c^2} \alpha_r \frac{r^2}{r_0^2} + \frac{\omega_p^2}{c^2} \frac{e^2}{2m^2 c^2 \omega^2} \frac{A_0^2}{f^2} e^{-r^2/r_0^2 f^2}. \quad (24)$$

در ادامه جهت به دست آوردن معادله تحول پهنهای پالس لیزر در تقریب نسبیتی ضعیف، در رابطه (۲۴) از بسط

$$e^{-r^2/r_0^2 f^2} = 1 - \frac{r^2}{r_0^2 f^2}$$

در نظر گرفتن ضرایب r^2 ، رابطه بازنویسی می شود. در نتیجه معادله خودکانونی شدن پالس لیزری گاؤسی در تقریب نسبیتی ضعیف و با در نظر گرفتن فاکتور تصحیح جرم نسبیتی به شکل زیر به دست می آید:

$$\frac{\partial^2 f}{\partial z^2} = \left(\frac{1}{R_D^2} - \frac{e^2 \omega_p^2 A_0'^2}{2m^2 c^2 \omega^2 \epsilon_0 r_0^2} \right) \frac{1}{f^3} - \frac{\omega_p^2}{\epsilon_0 \omega^2 r_0^2} \alpha_r f. \quad (25)$$

که محاسبات در مورد آن صادق است، نباید به طول موج نزدیک باشد یعنی $\lambda < r$ است. در این محاسبات، در تقریب نسبیتی ضعیف، وابستگی چگالی به فاصله از محور انتشار به دست آمده و همان‌طور که رابطه (۱۳) نشان می‌دهد، در تقریب پیرامحوری چگالی اختلالی n_s وابسته به r^2 یعنی وابسته به پیرامحوری چگالی اختلالی n_s وابسته به r^2 یعنی وابسته به توان دوم فاصله از محور انتشار است.

در حالت نسبیتی معادله انتشار لیزر با فرض پیمانه کولن $\vec{\nabla} \cdot \vec{a} = 0$ عبارت است از:

$$\left(\nabla^2 - \frac{1}{c^2} \frac{\partial^2}{\partial t^2} \right) \vec{a} = \frac{\omega_p^2 n_e}{c^2 \gamma n_s} \vec{a} \quad (16)$$

در رابطه فوق، به جای تغییرات زمانی چگالی جریان از رابطه $\frac{\partial \vec{p}}{\partial t} = -\frac{ne}{m\gamma} \frac{\partial \vec{p}}{\partial t}$ استفاده شده است. از آنجا که $e \vec{E} = \frac{\partial \vec{p}}{\partial t}$ خواهد شد. چگالی به صورت $n_e = n_0 + n_s$ در معادله (۱۶) جاگذاری می شود. در تقریب نسبیتی ضعیف، معادله انتشار پالس لیزر درون پلاسمای غیر مغناطیسی بر حسب میدان الکتریکی با رابطه زیر داده می شود:

$$\nabla^2 \vec{E} + \frac{\omega_p^2}{c^2} \vec{E} - \frac{\omega_p^2}{c^2} \left(1 + \frac{n_s}{n_0} - \frac{P^2}{2m^2 c^2} \right) \vec{E} = 0. \quad (17)$$

در تقریب شبیه ایستا، با فرض $\partial A / \partial z \ll kA$ و استفاده از رابطه (۱۳) معادله انتشار لیزر به شکل زیر در می آید:

$$2ik \frac{\partial A}{\partial z} + \nabla_{\perp}^2 A + \frac{\omega_p^2}{c^2} \left(\alpha_0 - \alpha_r \frac{r^2}{r_0^2} \right) A + \frac{\omega_p^2}{c^2} \frac{e^2}{2m^2 c^2 \omega^2} |A|^2 A = 0. \quad (18)$$

با جانشانی $A(r, z) = A_0(r, z) e^{is(r, z)}$ و محاسبه مشتقات، با تفکیک معادله فوق به دو بخش موهومی و حقیقی روابط زیر به دست می آید:

بخش موهومی:

$$k \frac{\partial A_0}{\partial z} + \frac{\partial s}{\partial r} \frac{\partial A_0}{\partial r} + A_0^* \nabla_{\perp}^2 s = 0, \quad (19)$$

ارتعاشی زیاد و نزدیک به سرعت نور است. جمله سوم اثر کanal یونی را نشان می‌دهد در واقع این اثر ناشی از نیروی اثر گذار و رانش الکترون‌ها توسط این نیرو است.

در این بخش، معادله تحول پهنه‌ای باریکه لیزر درون پلاسما، یعنی معادله (۲۹)، با شرایط مرزی $f(0,t) = 1$ و

$$\left. \frac{\partial f(z,t)}{\partial z} \right|_{z=0} = 0 \quad \text{به صورت عددی حل شده است. نمودار}$$

تحول پهنه‌ای پالس لیزر f ، بر حسب $z/R_d = \xi$ رسم شده

$$A = \left(\frac{c}{\omega_p r_0} \right)^2 = \left(\frac{R}{r_0} \right)^2 \quad \text{مربع}$$

است. در این معادله، جمله نسبت شعاع کanal یونی به اندازه لکه روشن لیزر را نشان می‌دهد که شعاع کanal یونی از مرتبه $\frac{c}{\omega_p} \approx R$ است. با استفاده

$$A = \left(\frac{R}{r_0} \right)^2 = 0.4 \quad \text{از رابطه (۲۹)، تحول پهنه‌ای پالس لیزر برای}$$

ثابت و به ازای α_{NL} های مختلف، در شکل ۱ نشان داده شده است. در این شکل، تحول پهنه‌ای پالس لیزر برای شدت‌های مختلف پالس لیزری در حالتی بررسی می‌شود که مربع نسبت شعاع کanal یونی به اندازه لکه روشن لیزر مقداری ثابت است. بسته به اینکه مقدار ضریب شکست غیرخطی و در واقع شدت پالس لیزر چقدر باشد، رفتارهای متفاوتی مشاهده می‌شود (ضریب شکست غیرخطی با مربع سرعت ارتعاش الکترون‌ها و در نتیجه با مربع دامنه و در واقع با شدت پالس لیزر متناسب است).

$$A = \left(\frac{R}{r_0} \right)^2 = 0.4 \quad \text{در شکل ۱، و مقادیر ضریب شکست}$$

غیرخطی به شرح زیر است:

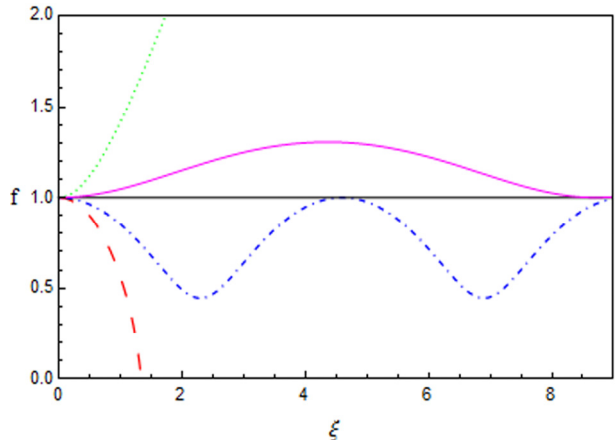
نمودار نقطه چین: $\alpha_{NL} = 0$,

نمودار خط پر: $\alpha_{NL} = 0.16$,

خط افقی: $\alpha_{NL} = 0.192$,

نمودار خط - نقطه: $\alpha_{NL} = 0.24$,

نمودار خط چین: $\alpha_{NL} = 0.36$.



شکل ۱. تحول پهنه‌ای لیزر برای شدت‌های مختلف پالس لیزر.

در رابطه فوق، ضریب α_2 را می‌توان به شکل $\frac{2e^2 A^2}{m^2 \omega_p^2 \omega^2 r_0^2 f^2} = \alpha_2$ در نظر گرفت. به منظور بدست آوردن شکل مناسب‌تری از معادله فوق، متغیر بدون بعد که به شکل $\xi = z/R_d$ در نظر گرفته می‌شود. با جایگذاری این متغیر در رابطه (۲۵)، معادله تحول پهنه‌ای پالس لیزر یا به عبارتی، معادله خودکانونی شدن پالس لیزری درون پلاسما در تقریب نسبیتی ضعیف، به شکل زیر در می‌آید:

$$\frac{\partial^2 f}{\partial \xi^2} = \frac{1}{f^3} - \frac{e^2 \omega_p^2 A^2 R_D^2}{2m^2 c^2 \omega^4 \epsilon_0 r_0^2} \frac{1}{f} - \frac{\omega_p^2 R_D^2}{\epsilon_0 \omega^2 r_0^2} \alpha_2 f, \quad (26)$$

$$\frac{\partial^2 f}{\partial \xi^2} = \frac{1}{f^3} - 2\alpha_{NL} \frac{1}{f} - \frac{\omega_p^2 r_0^2}{c^2} \alpha_2 f, \quad (27)$$

در رابطه فوق:

$$\alpha_{NL} = \left(\frac{\omega_p r_0}{2c} \right)^2 \frac{v_0^2}{c^2}, \quad (28)$$

$v_0 = eA_0/m\omega$ اندازه سرعت ارتعاش الکترون‌ها در $r = 0$ و $z = 0$ است. با جایگذاری α_2 معادله خودکانونی شدن پالس لیزری درون پلاسما به شکل زیر در می‌آید:

$$\frac{\partial^2 f}{\partial \xi^2} = \frac{1}{f^3} - 2\alpha_{NL} \frac{1}{f} - 8\alpha_{NL} \frac{c^2}{\omega_p^2 r_0^2} \frac{1}{f^3}. \quad (29)$$

جمله اول در سمت راست رابطه (۲۹) واگرایی ناشی از پراش است که مقدار آن در محاسبات عددی تأثیر زیادی روی طول خودکانونی شدن و حتی پهنه‌ای پالس لیزر دارد، جمله دوم مربوط به تصحیح نسبیتی جرم الکترون‌ها در سرعت‌های

می شود. با تکرار این روند پهنهای پالس رفتاری نوسانی از خود نشان می دهد. با این تفاوت که رفتار نوسانی در این حالت، عکس رفتار نوسانی در شدت‌های کمتر است. بدین معنی که در شدت‌های کمتر، پهنهای پالس لیزر ابتدا افزایش و سپس کاهش می‌یابد اما در شدت‌های بالاتر پهنهای پالس لیزر ابتدا کاهش و سپس افزایش می‌یابد. پهنهای پالس لیزر برای ضریب شکست غیر خطی کمتر از $\alpha_{NL} = 0.312$ رفتار نوسانی دارد تا اینکه با افزایش ضریب شکست غیر خطی برای $\alpha_{NL} = 0.36$ تحول پهنهای پالس مطابق نمودار خط چین در شکل ۱ است. در این حالت شدت پالس لیزر به اندازه‌ای است که در همان ابتدا پالس را فشرده کرده و آن را کانونی می‌کند. بنابراین با ثابت در نظر گرفتن مربع نسبت شعاع کانال یونی به اندازه لکه روشن لیزر، افزایش ضریب شکست غیر خطی و در واقع افزایش دامنه و در نتیجه افزایش شدت پالس لیزر به خودکانونی شدن پالس لیزر درون پلاسمای $\alpha_{NL} = 0.1$ و به

ازای $A = \left(\frac{c}{\omega_p} \right)^2$ های مختلف، تحول پهنهای پالس لیزر و اثر کانال یونی بر خودکانونی شدن پالس لیزر درون پلاسما بررسی می‌شود.

در شکل ۲ داریم $\alpha_{NL} = 0.1$ و مربع نسبت شعاع کانال یونی به اندازه لکه روشن لیزر به شرح زیر است:

$$\text{نمودار نقطه چین: } \left(\frac{R}{r_0} \right)^2 = 0.9$$

$$\text{خط افقی: } 1 \quad \left(\frac{R}{r_0} \right)^2 = 1$$

$$\text{نمودار خط چین: } \left(\frac{R}{r_0} \right)^2 = 0.23$$

$$\text{نمودار خط پر: } \left(\frac{R}{r_0} \right)^2 = 0.25$$

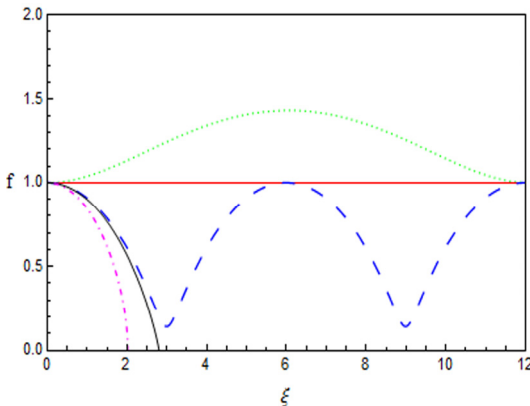
$$\text{نمودار خط - نقطه: } \left(\frac{R}{r_0} \right)^2 = 0.375$$

همان‌طور که شکل ۲ نشان می‌دهد، هنگامی که پالس لیزری به

اگر این ضریب صفر فرض شود، تحول پهنهای پالس لیزر به شکل نمودار نقطه چین خواهد بود. در این حالت به دلیل وجود پراش، پالس شروع به باز شدن می‌کند و پهنهای پالس لیزر بزرگتر می‌شود. اگر برای این ضریب مقدار کوچک غیر صفری در نظر گرفته شود، تحول پهنهای پالس لیزر در شکل ۱ نشان داده شده است. در این حالت اثر مربوط به تصحیح جرم نسبیتی و اثر کانال یونی نیز به تدریج خود را نشان می‌دهند. با فرض اینکه مربع نسبت شعاع کانال یونی به اندازه لکه روشن لیزر مقداری ثابت است، تأثیر ضریب شکست غیر خطی و در واقع تأثیر شدت پالس لیزر بر تحول پهنهای پالس بررسی می‌شود. همان‌طور که شکل ۱ نشان می‌دهد، بسته به اینکه شدت پالس لیزر چقدر باشد، پهنهای پالس رفتارهای متفاوتی دارد. نمودار خط پر در شکل ۱ برای مقدار $\alpha_{NL} = 0.16$ رسم شده است. در این حالت، در ابتدا چون $\alpha_{NL} = 0.16$ کوچک است، به دلیل وجود پراش، پهنهای پالس شروع به افزایش می‌کند، اما مقداری که پالس جلوتر می‌رود اثر مربوط به تصحیح جرم متناسب با اثر پراش افزایش می‌یابد. بنابراین در یک نقطه این اثر غالب شده و پهنهای پالس شروع به کم شدن می‌کند. با تکرار این رفتار پهنهای پالس شروع به نوسان کردن می‌کند. اگر ضریب شکست غیر خطی و در واقع شدت پالس لیزر مقدار کمی افزایش یابد در $\alpha_{NL} = 0.192$ همان‌طور که خط افقی در شکل ۱ نشان می‌دهد، پهنهای پالس لیزر بدون تغییر بوده و در واقع پالس بدون تغییر دامنه منتشر می‌شود. تغییر پهنهای پالس برای مقادیر ضریب شکست بیشتر مثلاً برای $\alpha_{NL} = 0.24$ در نمودار خط - نقطه در شکل ۱ قابل مشاهده است. در این حالت ضریب شکست غیر خطی و در واقع شدت پالس لیزر به اندازه کافی بزرگ است، طوری که در ابتدا پالس را فشرده می‌کند. حین کوچک شدن پهنهای پالس لیزر، پراش بزرگ‌تر می‌شود. هرچه پالس فشرده‌تر می‌شود، اثر مربوط به پراش بزرگ و بزرگ‌تر می‌شود تا اینکه از نقطه‌ای به بعد اثر پراش غلبه کرده و پهنهای پالس لیزر شروع به افزایش می‌کند. در واقع تحول پهنهای پالس لیزر طوری است که در ابتدا پهنا کوچک و سپس بزرگ

اگر این ضریب باز هم افزایش یابد، پالس لیزر که در شعاع-های بزرگتر رفتاری نوسانی داشت، کانوئی می‌شود. با افزایش این نسبت، پهنهای پالس رفتار مشابهی در دو نمودار خط پر و خط- نقطه در شکل ۲ ارائه می‌دهد. تفاوت دو نمودار در این است که به ازای یک ضریب شکست غیر خطی خاص، افزایش مرربع نسبت شعاع کanal یونی به اندازه لکه روشن لیزر باعث می‌شود پالس لیزر در فاصله نزدیکتر کانوئی شود. بنابراین افزایش این نسبت به خودکانوئی شدن پالس لیزر درون پلاسما کمک می‌کند. همان طور که اشاره شد شعاع کanal یونی از مرتبه $R \approx \frac{c}{\omega_p}$ است. شکل ۲ به

وضوح نشان می‌دهد به ازای یک ضریب شکست غیر خطی ثابت، برای $A = \left(\frac{R}{r_0}\right)^2 < 1$ ، یا به عبارتی هنگامی که شعاع کanal یونی کوچکتر از اندازه لکه روشن لیزر باشد، پالس رفتاری نوسانی دارد و پهنا در ابتدا افزایش و سپس کاهش می‌یابد. برای $A = \left(\frac{R}{r_0}\right)^2 \cong 1$ ، یعنی برای شعاعی از مرتبه اندازه لکه روشن لیزر، پهنهای پالس بدون تغییر است و برای $A = \left(\frac{R}{r_0}\right)^2 > 1$ ، یا به عبارتی هنگامی که شعاع کanal یونی بزرگتر از اندازه لکه روشن لیزر باشد، رفتار نوسانی پهنهای پالس به صورت معکوس است. بدین معنی که اثر کanal یونی باعث کاهش پهنهای پالس می‌شود. برای مقادیر بزرگتر این نسبت، پالس لیزر درون پلاسما کانوئی می‌شود. در واقع اثر کanal یونی و افزایش مرربع نسبت شعاع کanal یونی به اندازه لکه روشن لیزر به خودکانوئی شدن پالس لیزر درون پلاسما کمک می‌کند. در این مقاله نشان داده‌ایم در انتشار پالس لیزر پرشدت در پلاسمای همگن، اثرهای نسبیتی ناشی از پالس لیزری پرشدت که خود را از طریق نیروی اثرگذار نشان می‌دهد باعث تغییر چگالی محیط و خودکانوئی شدن پالس لیزر می‌شود. با ثابت در نظر گرفتن مربيع نسبت شعاع کanal یونی به اندازه لکه روشن لیزر، افزایش ضریب شکست غیر خطی و در واقع افزایش دامنه و در نتیجه افزایش شدت



شکل ۲. تحول پهنهای لیزر برای نسبت‌های مختلف شعاع کanal یونی به اندازه لکه روشن لیزر.

پلاسما تابیده می‌شود به ازای یک ضریب شکست غیر خطی خاص، بسته به اینکه مربيع نسبت شعاع کanal یونی به اندازه لکه روشن لیزر چقدر باشد پهنهای پالس رفتارهای متفاوتی ارائه می‌دهد. اگر این ضریب $A = \left(\frac{R}{r_0}\right)^2 = 0.9$ فرض شود، تحول پهنهای پالس لیزر به صورت نمودار نقطه چین در شکل ۲ خواهد بود. در این حالت به دلیل وجود پراش، پالس شروع به باز شدن می‌کند تا اینکه از جایی به بعد اثر کanal یونی باعث کاهش پهنهای پالس می‌شود و با تکرار این روند پهنهای پالس رفتار نوسانی دارد. اگر این ضریب افزایش یابد، برای $A = \left(\frac{R}{r_0}\right)^2 = 1$ ، همان‌طور که خط افقی در شکل ۲ نشان می‌دهد، پهنهای پالس لیزر بدون تغییر بوده و در واقع پالس بدون تغییر دامنه منتشر می‌شود. در این حالت شعاع کanal یونی از مرتبه اندازه لکه روشن لیزر است. تغییر پهنهای پالس برای مقادیر بزرگتر این ضریب در سه نمودار دیگر شکل ۲ نشان داده شده است. برای مقدار $A = \left(\frac{R}{r_0}\right)^2 = 1.23$ اثر کanal یونی طوری است که در ابتدا پهنهای پالس را کاهش داده و سپس با بزرگ شدن اثر پراش پهنهای پالس افزایش می‌یابد. در این حالت نیز پهنهای پالس رفتار نوسانی دارد، اما نسبت به حالت $A = \left(\frac{R}{r_0}\right)^2 = 0.9$ به طور معکوس است.

روشن لیزر منجر به داشتن رفتارهای خودکانونی متفاوتی برای پالس لیزری در پلاسمای خواهد شد.

پالس لیزر به خودکانونی شدن پالس لیزر درون پلاسمای کمک می‌کند. همچنین به ازای یک ضریب شکست غیر خطی خاص، انتخاب صحیح نسبت شعاع کانال یونی به اندازه لکه

12. H S Brandi *et al.*, *Laser Physics* **3** (1993) 2.
13. E Esarey, P Sprangle, J Krall, and A Ting, *IEEE J. Quantum Electron* **33** (1997) 1879.
14. J Faure *et al.*, *Phys. Plasmas* **9** (2002) 756.
15. P Sprangle, C H Tang, and E Esarey, *IEEE Trans. Plasma Sci.* **15** (1987) 145.
16. R Fedosejevs, X F Wang, and G D Tsakiris, *Phys. Rev. E* **56** (1997) 4615.
17. Habara, K Adumi, T Yabuuchi, T Nakamura, Z L Chen, M Kashihara, R Kodama, K Kondo, G R Kumar, L A Lei, T Matsuoka, K Mima, and K A Tanaka, *Phys. Rev. Lett.* **97** (2006) 095004.
18. S K Akhmanov, A P Sukhorukov, and R V Khokhlov, *Sov. Phys. Usp.* **10** (1968) 609.
19. V K Tripathi, T Taguchi, and C S Liu, *Phys. Plasmas* **12** (2005) 043106.
20. V B Pathaka and V K Tripathi, *Phys. Plasmas* **13** (2006) 082105.
1. H Hora, *J. Opt. Soc. Am.* **65** (1975) 882.
2. D A Jones, E L Kane, P Lalousis, P Wiles, and H Hora, *Phys. Fluids* **25** (1982) 2295.
3. W B Mori, C Joshi, J M Dawson, D W Forslund, and J M Kindel, *Phys. Rev. Lett.* **60** (1988) 1298.
4. X L Chen and R N Sudan, *Phys. Rev. Lett.* **70** (1993) 2082.
5. G Mourou and D Umstadter, *Phys. Fluids* **4** (1992) 2315.
6. M D Perry and G Mourou, *Science* **264** (1994) 917.
7. D N Gupta, M S Hur, I Hwang, and H Suk, *Appl. Phys. Lett.* **91** (2007) 081505.
8. P Jha, N Wadhwani, A K Upadhyaya, and G Raj, *Phys. Plasmas* **11** (2004) 3259.
9. M Habibi and F Ghamari, *Phys. Plasmas* **18** (2011) 103107.
10. M D Feit, *Physica D* **152-153** (2001) 705-713.
11. Piero Chessa *et al.*, *Phys. of Plasmas* **5** (1998) 9.

Archive of